

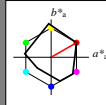
Eingabe: Farbmimetrisches Reflexions-System MRS18

für Buntton $h^* = \text{lab}^*h = 30/360 = 0.083$ lab^*ch und lab^*nch

D65: Buntton R

LCH*Ma: 50 77 30

rgb*Ma: 1.0 0.0 0.0

Dreiecks-Helligkeit t^* 

%Umfang

 $u^*_{rel} = 91$

%Regularität

 $g^*_{H,rel} = 41$ $g^*_{C,rel} = 52$

MRS18; adaptierte CIELAB-Daten

	$L^*=L^*_a$	a^*_a	b^*_a	$C^*_{ab,a}$	$h^*_{ab,a}$
RMa	49.63	66.96	38.37	77.18	30
YMa	90.7	-6.36	88.75	88.98	94
GMa	52.11	-69.73	9.44	70.37	172
G50BMa	45.03	-36.57	-28.47	46.36	218
BMa	36.65	23.19	-63.05	67.18	290
B50RMa	34.94	57.17	-44.26	72.31	322
NMa	18.01	0.0	0.0	0.0	0
WMa	95.41	0.0	0.0	0.0	0
RcIE	39.92	58.66	26.98	64.56	25
IcIE	81.26	-2.17	67.76	67.79	92
GcIE	52.23	-42.26	11.75	43.87	164
BcIE	30.57	1.15	-46.84	46.87	271

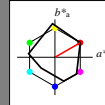
Ausgabe: Farbmimetrisches Reflexions-System MRS18

für Buntton $h^* = \text{lab}^*h = 30/360 = 0.083$ lab^*ch und lab^*nch

D65: Buntton R

LCH*Ma: 50 77 30

rgb*Ma: 1.0 0.0 0.0

Dreiecks-Helligkeit t^* 

%Umfang

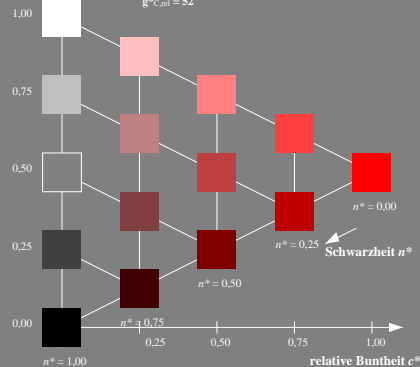
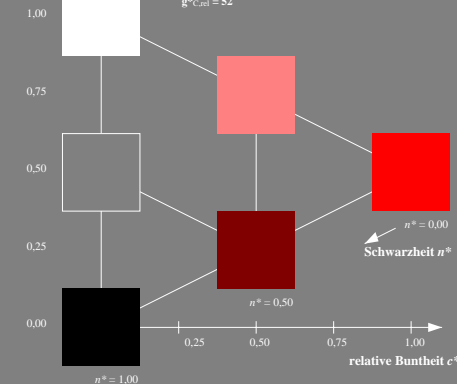
 $u^*_{rel} = 91$

%Regularität

 $g^*_{H,rel} = 41$ $g^*_{C,rel} = 52$

MRS18; adaptierte CIELAB-Daten

	$L^*=L^*_a$	a^*_a	b^*_a	$C^*_{ab,a}$	$h^*_{ab,a}$
RMa	49.63	66.96	38.37	77.18	30
YMa	90.7	-6.36	88.75	88.98	94
GMa	52.11	-69.73	9.44	70.37	172
G50BMa	45.03	-36.57	-28.47	46.36	218
BMa	36.65	23.19	-63.05	67.18	290
B50RMa	34.94	57.17	-44.26	72.31	322
NMa	18.01	0.0	0.0	0.0	0
WMa	95.41	0.0	0.0	0.0	0
RcIE	39.92	58.66	26.98	64.56	25
IcIE	81.26	-2.17	67.76	67.79	92
GcIE	52.23	-42.26	11.75	43.87	164
BcIE	30.57	1.15	-46.84	46.87	271



TG640-7, 3stufige Reihen für konstanten CIELAB Buntton 30/360 = 0.083 (links)

5stufige Reihen für konstanten CIELAB Buntton 30/360 = 0.083 (rechts)

BAM-Prüfvorlage TG64; Farbmimetrische Systeme MRS18 & MRS18input: olv* setrgbcolor
D65: 3 und 5stufige Farbreihen für 10 Bunttöne

output: no change compared to input